水处理技术与环境保护

花球状 Fe₃O₄/MoS₂ 活化过一硫酸盐氧化去除环丙沙星

郑友臣, 余泽旭, 段 毅*, 周书葵, 周紫璇, 闫俊霖 (南华大学 土木工程学院, 湖南 衡阳 421001)

摘要: 以(NH₄)₆Mo₇O₂₄•4H₂O、硫脲和 FeCl₃•6H₂O 为主要原料,采用水热法将纳米 Fe₃O₄ 颗粒负载在花球状 MoS₂ 上,制备了花球状复合材料 Fe₃O₄/MoS₂,将其用于活化过一硫酸盐(PMS)氧化去除水中的环丙沙星(CIP)。通过 SEM、XRD、XPS 和振动磁力仪(VSM)对 Fe₃O₄/MoS₂进行了表征。考察了不同反应体系、初始 pH、反应温度、Fe₃O₄/MoS₂ 投加量(以 CIP 水溶液体积计,下同)、PMS 投加量、CIP 初始质量浓度和常见阴离子(H₂PO $_4$ 、CI⁻、HCO $_3$ 、NO $_3$)及腐植酸(HA)对 Fe₃O₄/MoS₂/PMS 体系氧化去除 CIP 的影响,探究了Fe₃O₄/MoS₂的循环稳定性,通过自由基淬灭实验和电子顺磁共振波谱仪(EPR),推测了其活化 PMS 氧化去除 CIP 的反应机理。结果表明,Fe₃O₄/MoS₂/PMS 体系表现出最高的 CIP 去除能力,在反应温度 30 °C、初始 pH=5.56、Fe₃O₄/MoS₂ 投加量 0.2 g/L、PMS 投加量 0.25 mmol/L、CIP 质量浓度 5 mg/L 的最佳条件下,20 min 内 CIP 去除率可达 96.10%;Fe₃O₄/MoS₂ 3 次循环使用后 CIP 去除率为 90.27%;H₂PO $_4$ 、CI⁻、HCO $_3$ 和 HA 均对 CIP 的去除有不同程度的抑制作用,NO $_3$ 对反应基本无影响。Fe₃O₄/MoS₂活化 PMS 氧化去除 CIP 的机理主要为单线态氧的非自由基途径,而硫酸根自由基和羟基自由基的自由基途径在其中发挥次要作用。

关键词: Fe_3O_4 ; MoS_2 ; 过一硫酸盐; 去除; 环丙沙星; 催化剂; 活化; 稳定性; 水处理技术中图分类号: TQ426; X703 文献标识码: A 文章编号: 1003-5214 (2025) 09-2049-11

Flower-like spherical Fe₃O₄/MoS₂ activating peroxymonosulfate for efficient removal of ciprofloxacin

ZHENG Youchen, YU Zexu, DUAN Yi*, ZHOU Shukui, ZHOU Zixuan, YAN Junlin (School of Civil Engineering, University of South China, Hengyang 421001, Hunan, China)

Abstract: Flower-like spherical composites Fe₃O₄/MoS₂ were prepared by loading nano-Fe₃O₄ particles, which were obtained from (NH₄)₆Mo₇O₂₄•4H₂O, thiourea and FeCl₃•6H₂O *via* hydrothermal method, onto flower-like spherical MoS₂, characterized by SEM, XRD, XPS and vibrating magnetometer (VSM), and used for activating peroxymonosulfate (PMS) oxidation to remove ciprofloxacin (CIP) from water. The effects of different reaction systems, initial pH, reaction temperature, Fe₃O₄/MoS₂ dosage (based on the CIP aqueous solution volume, the same below), PMS dosage, common anions (H₂PO₄, Cl⁻, HCO₃, NO₃) and humic acid (HA) on the oxidative removal of CIP in Fe₃O₄/MoS₂/PMS system were analyzed. The cyclic stability of Fe₃O₄/MoS₂ was evaluated, while the reaction mechanism of CIP removal by activated PMS was discussed by radical quenching experiment and electron paramagnetic resonance spectrometer (EPR). The results showed that the Fe₃O₄/MoS₂/PMS system exhibited the highest CIP removal activity. Under the optimal conditions of reaction temperature 30 °C, initial pH=5.56, Fe₃O₄/MoS₂ dosage 0.2 g/L, PMS dosage 0.25 mmol/L, CIP mass concentration 5 mg/L, the CIP removal rate could reach 96.10% in 20 min, and maintained at 90.27% after three cycles of Fe₃O₄/MoS₂. H₂PO₄, Cl⁻, HCO₃ and HA displayed certain

收稿日期: 2024-08-03; 定用日期: 2024-09-29; DOI: 10.13550/j.jxhg.20240610

基金项目:湖南省自然科学基金青年基金项目(2023JJ40543)

作者简介:郑友臣(2000—),男,硕士生,E-mail: zyc877065614@163.com。**联系人**:段 毅(1987—),男,讲师,E-mail: duanyi1987@163.com。

inhibition on CIP removal, while NO₃ showed no influence on the reaction. The mechanism of CIP removal by Fe₃O₄/MoS₂-activated PMS oxidation was mainly attributed to the non-free radical pathway of singlet oxygen, while the free radical pathway of sulfate radical and hydroxyl radical played a secondary role.

Key words: Fe₃O₄; MoS₂; peroxymonosulfate; removal; ciprofloxacin; catalysts; activation; stability; water treatment technology

氟喹诺酮类(FQs)抗生素是全球范围内最常被检测到的抗生素^[1-2]。环丙沙星(CIP)作为第三代 FQs 抗生素的典型代表,因对某些感染具有稳定的抗菌作用和相对低廉的价格而被广泛使用^[3]。然而,CIP 结构复杂和难生物降解等特性使其在传统的污水处理工艺中无法被高效深度去除^[4-5],直接或间接排放到自然水体中,而残留的 CIP 可诱导耐药细菌和耐药基因的产生,对水环境和公众健康构成了巨大威胁^[6-7]。因此,开发一种高效经济的去除水体中 CIP 的技术十分必要。

目前,去除水体中抗生素的方法主要是吸附法[8]、 膜工艺[9]、生物法[10]和高级氧化法。其中,吸附法 与膜工艺仅能实现抗生素的分离,并不能使其降解; 另外,存在吸附材料难以重复利用、膜材料价格较 昂贵和需要定期清洗更换等问题。生物法中, 由于 抗生素抑制细菌活性,易引发污泥膨胀,影响出水 水质和整个生化系统的正常运行。而基于过硫酸盐 的高级氧化技术(PS-AOPs)已被证实对降解抗生 素具有显著的效果[11-12]。相较于传统的 Fenton 反 应, PS-AOPs 产生的硫酸根自由基(SO₄-•)具有较 高的氧化电位(2.5~3.1 V)、更高的选择性、更长的 寿命和较宽的 pH 响应范围, 有利于与抗生素的接 触[13-14]。过硫酸盐主要分为过一硫酸盐(PMS)和 过二硫酸盐 (PDS), 在催化剂的作用下, 这两种氧 化剂都能被激活并产生 SO₄-。与对称结构的 PDS 相比, 具有不对称结构的 PMS 更容易被活化, 反应 速率更快。

目前,过渡金属已被证明可以有效活化 PMS^[15]。其中,铁基材料是研究最为广泛的过渡金属^[16],具有低生物毒性、环境友好和易于获取等特点。Fe₃O₄ 能逐步向溶液中释放 Fe²⁺活化 PMS,且具有磁性,便于在反应结束后快速分离回收和重复使用,常用于活化 PMS。然而,Fe₃O₄ 在活化过程中的 Fe²⁺/Fe³⁺循环效率较低,限制了其活性^[17]。近年来的研究表明,过渡金属硫化物表面富含还原性位点,可为氧化还原反应提供电子,加速高级氧化反应的电子循环。例如:XING等^[18]将 MoS₂作为助催化剂加入到 Fe²⁺/H₂O₂体系中,能够极大提高 H₂O₂的分解效率。HUANG等^[19]研究发现,在 Fe²⁺/PDS或 Fe³⁺/PDS体系中添加不同金属硫化物(WS₂、

 MoS_2 、 FeS_2 和 ZnS)能够显著增强自由基的产生,从而提高 PDS 的利用效率。

本文拟通过水热法来制备花球状 Fe₃O₄/MoS₂ 复合材料,将其作为催化剂用于活化 PMS 去除 CIP。通过因素实验考察初始 pH、Fe₃O₄/MoS₂ 投加量、PMS 投加量、CIP 初始质量浓度、无机阴离子和腐植酸(HA)对 CIP 去除率的影响,并探讨其稳定性。通过自由基淬灭实验、电子顺磁共振波谱仪测试及表征分析,探究 Fe₃O₄/MoS₂ 活化 PMS 去除 CIP 的机理。以期为过渡金属复合型催化剂用于废水处理中去除抗生素提供一种可行的策略。

1 实验部分

1.1 试剂与仪器

EscaLab 250Xi 型 X 射线光电子能谱仪(XPS), 美国 Thermo Fisher Scientific 公司; JSM-7800F 型场 发射扫描电子显微镜(SEM), 日本电子株式会社; SmartLab 9 型 X 射线衍射仪(XRD), 日本 Rigaku 公司; A-300 型电子顺磁共振波谱仪(EPR), 德国 Bruker 公司; AZtecLive 型能量色散 X 射线光谱仪 (EDS), 英国 Oxford Instruments 公司; MicroMagTM 3900-4 VSM 型振动磁力仪(VSM),美国 Lake Shore Cryotronics 公司; UV-2600 型紫外-可见分光光度计 (UV-Vis), 日本 Shimadzu 公司。

1.2 制备方法

1.2.1 MoS2的制备

将 3.705 g (3 mmol) (NH₄)₆Mo₇O₂₄•4H₂O 和 7.992 g (105 mmol) CH₄N₂S 粉末溶于 105 mL 去离 子水中制备前驱体,前驱体的 n(Mo): n(S)=1:5。将前驱体剧烈搅拌 1 h 后转移到 150 mL 聚四氟乙烯内衬的水热反应釜中,在 210 °C下水热反应 18 h,

冷却至室温后,离心分离黑色固体,并用去离子水和无水乙醇交替各洗涤 3 次,在 60 °C下干燥 12 h,制得黑色固体 $MoS_2^{[20]}$ 。

1.2.2 Fe₃O₄/MoS₂的制备

将 0.360 g(2.25 mmol) MoS_2 加入到烧杯中,并加入 108 mL 无水乙醇,然后加入 0.900 g(3.33 mmol) $FeCl_3$ • $6H_2O$,超声 15 min 后,在磁力搅拌下加入 18 mL 去离子水,再加入 2.592 g(31.60 mmol) CH_3COONa ,搅拌 1 h后,将上述体系转移到 150 mL 水热反应釜中。在 200 ℃下水热反应 24 h后,冷却至室温,离心分离得到黑色固体,并用去离子水和无水乙醇交替各洗涤 3 次,在 60 ℃下干燥 12 h,得到复合材料,记为 Fe_3O_4/MoS_2 。

采用制备 Fe_3O_4/MoS_2 的方法和步骤, 但不添加 MoS_2 , 得到 Fe_3O_4 。

1.3 表征方法和性能测试

XPS 测试: Al K_α 为射线源,管电压 15 kV,管电流 10 mA,测试能量 1486.8 eV,并以 C 1s (284.8 eV)为基准对数据进行校正。XRD 测试:靶材 Cu,管电压≤40 kV,管电流≤40 mA, K_α 射线波长为 0.1541 nm,步长 0.02°,小角扫描范围 2 θ =0.5°~50°,大角扫描范围 2 θ =2°~150°。SEM 测试采用二次电子像分辨率,高加速:0.8 nm@15.0 kV 晶界(GB);低加速:1.2 nm@1.0 kV(GB);极低加速:3.0 nm@0.1 kV(GB);分析:3.0 nm@15 kV,5 nA,工作距离(WD)10 mm,WD 2.0~25.0 mm。

1.4 CIP 降解实验

将 50 mL 质量浓度为 5 mg/L 的 CIP 水溶液置于 100 mL 烧杯中进行实验。用 0.01 mol/L 的盐酸或 0.01 mol/L 的 NaOH 溶液调节 CIP 水溶液的 pH。将烧杯置于磁力搅拌水浴锅中(30 °C),向烧杯中加入投加量为 0.2 g/L(以 CIP 水溶液体积计,下同)的催化剂 Fe₃O₄/MoS₂,随后,加入投加量为 0.25 mmol/L(以 CIP 水溶液体积计,下同)的氧化剂 PMS。固定时间间隔,采集 2 mL 样品,经 0.22 μ m聚四氟乙烯膜过滤后,立即用移液枪取出 1.5 mL 滤液,放入装有 1.5 mL 甲醇的棕色离心管中^[21-22]。最后,用 UV-Vis 测定溶液在 272 nm 波长处的吸光度,根据吸光度(y)-CIP 质量浓度(x,mg/L)标准曲线拟合方程 y=0.1021x+0.0009(R^2 =1.000),计算测定溶液吸光度对应的 CIP 的质量浓度。根据式(1)计算溶液中 CIP 的去除率:

$$\eta / \% = (\rho_0 - \rho_t) / \rho_0 \times 100$$
 (1)

式中: η 为 CIP 的去除率, %; ρ_0 为 CIP 的初始质量浓度, mg/L; ρ_t 为反应 t (min) 时 CIP 的质量浓度, mg/L。

1.5 单因素实验

1.5.1 pH 的影响

采用 1.4 节的实验过程和步骤,在 Fe_3O_4/MoS_2 投加量为 0.2 g/L、PMS 投加量为 0.25 mmol/L、CIP 初始质量浓度为 5 mg/L、反应温度为 30 ℃的条件下,考察初始 pH(3、5、7、9、11)对 CIP 去除率的影响。

1.5.2 温度的影响

采用 1.4 节的实验过程和步骤,在 Fe_3O_4/MoS_2 投加量为 0.2 g/L、PMS 投加量为 0.25 mmol/L、CIP 初始质量浓度为 5 mg/L、pH=5.56(未进行 pH 调节)的条件下,考察反应温度(30、45、50 ℃)对 CIP 去除率的影响。

1.5.3 Fe₃O₄/MoS₂投加量的影响

采用 1.4 节的实验过程和步骤,在 PMS 投加量为 0.25 mmol/L、CIP 初始质量浓度为 5 mg/L、pH=5.56、反应温度为 30 ℃的条件下,考察 Fe_3O_4 / MoS₂ 投加量(0.1、0.2、0.3、0.4、0.5 g/L)对 CIP 去除率的影响。

1.5.4 PMS 投加量的影响

采用 1.4 节的实验过程和步骤,在 Fe_3O_4/MoS_2 投加量为 0.2 g/L、CIP 初始质量浓度为 5 mg/L、pH= 5.56、反应温度为 30 ℃的条件下,考察 PMS 投加量(0.10、0.25、0.50、1.00、1.50、2.00 mmol/L)对 CIP 去除率的影响。

1.5.5 CIP 初始质量浓度的影响

采用 1.4 节的实验过程和步骤,在 Fe_3O_4/MoS_2 投加量为 0.2 g/L、PMS 投加量为 0.25 mmol/L、pH= 5.56、反应温度为 30 ℃的条件下、考察 CIP 初始质量浓度(2、5、8、10、15 mg/L)对 CIP 去除率的影响。

1.6 常见阴离子和 HA 的影响

采用 1.4 节的实验过程和步骤,在 Fe_3O_4/MoS_2 投加量为 0.2 g/L、PMS 投加量为 0.25 mmol/L、CIP 初始质量浓度为 5 mg/L、pH=5.60、反应温度为 30 ℃ 的条件下,分别考察不同浓度(0、2、5、10 mmol/L) H_2PO_4 、 NO_3 、Cl 、 HCO_3 和 HA 质量浓度(0、2、5、10、20 mg/L)对 CIP 去除率的影响。

1.7 循环稳定性实验

采用 1.4 节的实验过程和步骤,在 Fe_3O_4/MoS_2 投加量为 0.2 g/L、PMS 投加量为 0.25 mmol/L、pH=5.56、反应温度为 30 $^{\circ}$ $^{\circ}$ $^{\circ}$ CIP 质量浓度为 5 mg/L 的条件下反应,反应后的溶液经离心机(8000 r/min)离心 5 min,将黑色固体用去离子水冲洗多次,在 60 $^{\circ}$ 下干燥 12 h 后,备用。该步骤循环 4 次。

1.8 自由基淬灭实验

为了探索催化剂活化 PMS 的活性物质, 分别采用 MeOH(100 mmol/L)淬灭羟基自由基(•OH)和 SO_4^{\bullet} 、 TBA(100 mmol/L)淬灭•OH、FFA(10 mmol/L)淬灭单线态氧(1O_2)、p-BQ(5 mmol/L)淬灭超氧基自由基($^\bullet O_2^{\bullet}$)。

2 结果与讨论

2.1 催化剂的表征

2.1.1 SEM 分析

图 1 为 MoS₂、Fe₃O₄和 Fe₃O₄/MoS₂的 SEM 图。

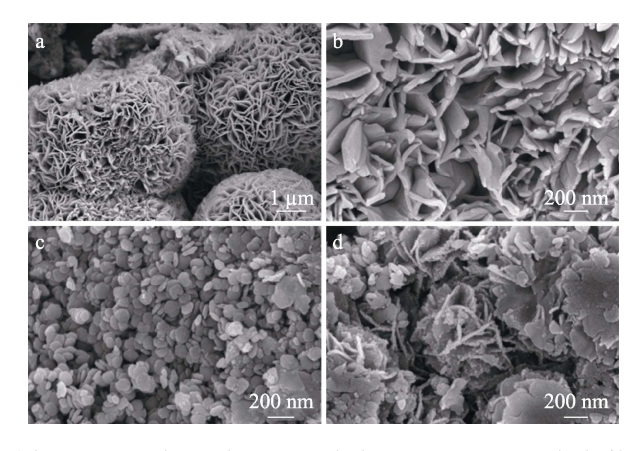


图 1 MoS_2 (a、b)、 Fe_3O_4 (c) 和 Fe_3O_4/MoS_2 (d) 的 SEM 图

Fig. 1 SEM images of $MoS_2(a, b)$, $Fe_3O_4(c)$, $Fe_3O_4/MoS_2(d)$

从图 1 可以看出, MoS_2 团簇呈三维花球状结构,粒径 $5\sim6$ μm (图 1a),并具有明显的多层结构 (图 1b)。 Fe_3O_4 呈随机排列的二维纳米片状结构,其粒径 $60\sim100$ nm (图 1c)。 Fe_3O_4/MoS_2 上的二维纳米片 Fe_3O_4 较均匀地分布在 MoS_2 花瓣边缘上或间隙中,粒径 $5\sim8$ nm (图 1d)。将 Fe_3O_4 镶嵌至花球状 MoS_2 中,有效减小了 Fe_3O_4 粒径。

2.1.2 XRD 分析

图 2 为 MoS₂、Fe₃O₄和 Fe₃O₄/MoS₂的 XRD 谱图。

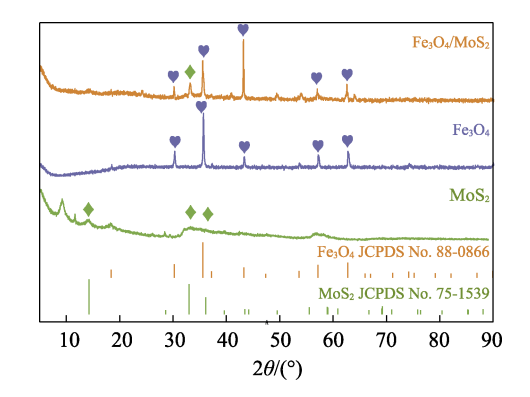


图 2 Fe₃O₄、MoS₂和 Fe₃O₄/MoS₂的 XRD 谱图 Fig. 2 XRD patterns of Fe₃O₄, MoS₂ and Fe₃O₄/MoS₂

从图 2 可以看出,MoS₂在 2 θ =14.13°、32.91°、 35.97°处出现 3 个衍射峰, 分别对应 MoS₂ 的(002)、 (100)、(102)晶面 (JCPDS No. 075-1539)。MoSo的 衍射峰为宽峰且强度较低,而 MoS_2 在 2θ =9.30°处出 现的杂峰是由于制备过程中产生了1H-MoS2,并非 掺入杂质所致, 因此, 样品纯度良好[23-25]。Fe₃O₄ 分别在 2θ=30.12°、35.48°、43.12°、57.03°、62.62° 处出现 5 个衍射峰,对应 Fe₃O₄的(220)、(311)、(400)、 (511)、(440)晶面,特征峰强度高、峰型尖锐且没有 杂峰,表明 Fe₃O₄纯度高,晶型完整。在 Fe₃O₄/MoS₂ 的 XRD 谱图中, Fe₃O₄的衍射峰清晰可见, 表明其 成功保留了Fe₃O₄的晶格结构和相态;而 MoS₂的个 别特征峰消失或者不明显,可能由于 MoS₂ 掺杂比 例过低和制备过程中 MoS2 结晶度低。这与 LU 等[26] 研究中的 XRD 表征结果一致,表明成功制备了 Fe₃O₄/MoS₂ o

2.1.3 EDS 分析

图 3 为 Fe₃O₄/MoS₂的 EDS 谱图。

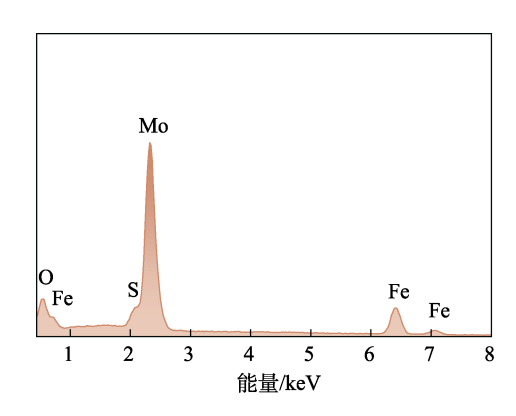


图 3 Fe₃O₄/MoS₂的 EDS 谱图 Fig. 3 EDS spectrum of Fe₃O₄/MoS₂

从图 3 可以看出, Fe_3O_4/MoS_2 中包含了钼(Mo, 质量分数 39.4%)、铁(Fe, 质量分数 28.6%)、氧(O, 质量分数 15.9%) 和硫(S, 质量分数 16.0%) 4 种元素,这些元素的存在证实了 Fe_3O_4 和 MoS_2 的存在,这与 SEM 和 XRD 结果一致,进一步证实成功制备了 Fe_3O_4/MoS_2 。

2.1.4 XPS 分析

图 4 为 Fe₃O₄/MoS₂ 的 XPS 谱图。

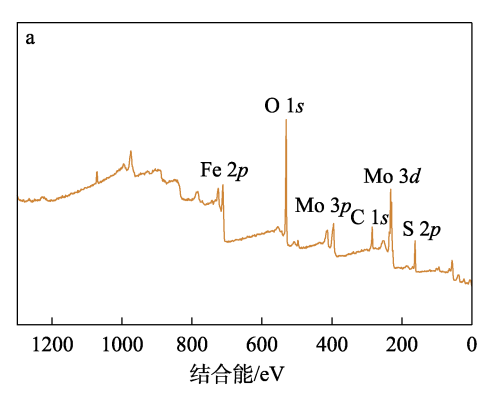
从图 4a 可以看出,谱图中显示的 S 、O 、Fe 和 Mo 4 种元素与 Fe_3O_4/MoS_2 组成元素一致。

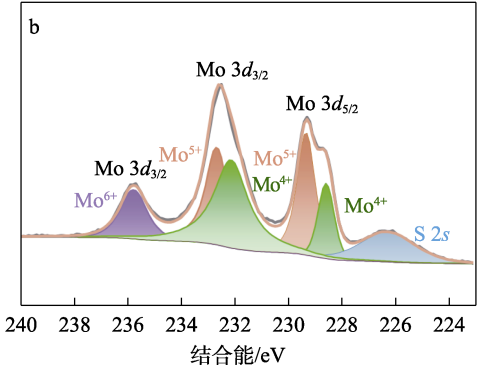
从图 4b 可以看出,228.6、232.1、229.3 和 232.6 eV 处的结合能分别为 Mo^{4+} $3d_{5/2}$ 、 Mo^{4+} $3d_{3/2}$ 、 Mo^{5+} $3d_{5/2}$ 和 Mo^{5+} $3d_{3/2}$ 。226.3 eV 处的结合能为 MoS_2 的 S 2s, 235.7 eV 处的结合能为 Mo^{6+} $3d_{3/2}$,可能是 MoS_2 在空气中部分氧化成 $MoO_3^{[27]}$ 。

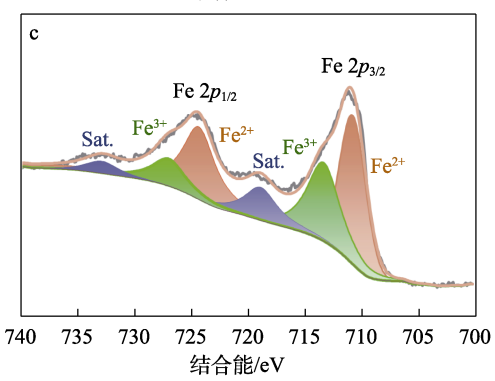
从图 4c 可以看出,710.8、713.4、724.4和727.0 eV

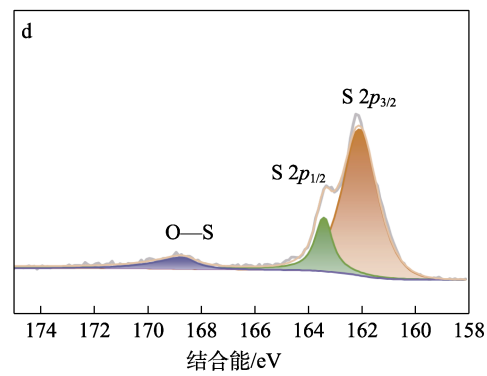
处的结合能分别为 Fe^{2+} $2p_{3/2}$ 、 Fe^{3+} $2p_{3/2}$ 、 Fe^{2+} $2p_{1/2}$ 和 Fe^{3+} $2p_{1/2}$ 。 Fe $2p_{3/2}$ 和 Fe $2p_{1/2}$ 的卫星峰(Sat.)分别位于结合能 718.9 和 732.9 eV 处,这与 BAI 等^[28]的研究结果一致。

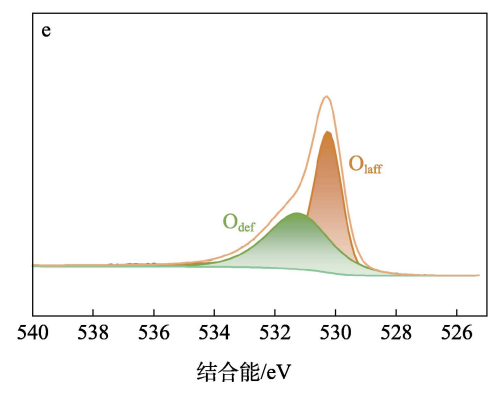
从图 4d 可以看出,162.0 和 163.4 eV 处的结合能分别为 MoS_2 的 S $2p_{3/2}$ 和 S $2p_{1/2}$ 。168.6 eV 附近的结合能为 O—S,表明 MoS_2 表面的部分 S 被氧化^[29]。











a—XPS 全谱; b—Mo 3d 高分辨 XPS 谱图; c—Fe 2p 高分辨 XPS 谱图; d—S 2p 高分辨 XPS 谱图; e—O 1s 高分辨 XPS 谱图

图 4 Fe₃O₄/MoS₂的 XPS 谱图

Fig. 4 XPS spectra of Fe₃O₄/MoS₂

从图 4e 可以看出,530.2 和531.2 eV 的结合能分别为晶格氧 (O_{laff}) 和氧缺陷 (O_{def}) 的特征峰。2.1.5 VSM 分析

图 5 为 Fe₃O₄和 Fe₃O₄/MoS₂的磁滞曲线。

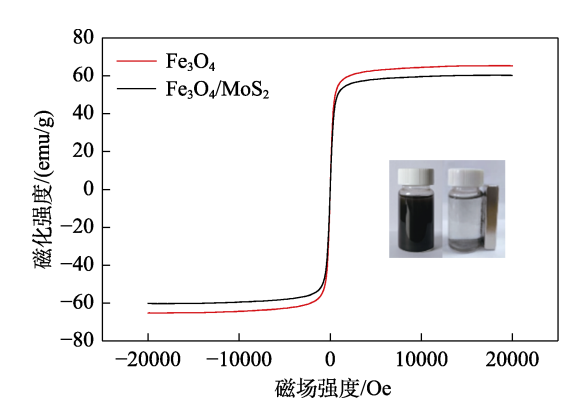


图 5 Fe_3O_4 和 Fe_3O_4/MoS_2 的磁滞曲线 Fig. 5 Magnetization curves of Fe_3O_4 and Fe_3O_4/MoS_2

从图 5 可以看出, Fe_3O_4 和 Fe_3O_4/MoS_2 的饱和 磁化强度分别为 65.29 和 60.26 emu/g。由于 MoS_2 本身不具备磁性,在形成 Fe_3O_4/MoS_2 过程中, Fe_3O_4 颗粒被镶嵌于 MoS_2 中,可能影响 Fe_3O_4 的磁畴排列 和磁化过程,从而降低了整体的磁性[30]。图 5 插图证实外部磁场可以将 Fe_3O_4/MoS_2 从水溶液中分离。

2.2 催化氧化体系氧化去除 CIP 结果分析

图 6 为不同催化氧化体系对 CIP 的去除率。

从图 6a 可以看出, PMS 单独氧化去除 CIP 时, 60 min 内 CIP 的去除率仅为 10.0%, 表明 PMS 具有一定的氧化去除 CIP 的能力, 但活性较低。在 PMS 的基础上添加 Fe_3O_4 /PMS 在 60 min 内对 CIP 的去除率为 20.05%, 比 PMS 同比增加 10.05%, 表明 Fe_3O_4 具有一定活化 PMS 的能力。但 CIP 的去除率提升幅度仍较小,这可能是因为, Fe_3O_4 发生团聚导致表面活性位点减少,其催化性能不能充分发挥。相比 Fe_3O_4 /PMS, MoS_2 /PMS 在 60 min 内对 CIP

的去除率(93.56%)得到大幅提升,表明 MoS_2 具有较高的催化活化 PMS 的能力。 $Fe_3O_4/MoS_2/PMS$ 在 20 min 内对 CIP 的去除率可达到 96.10%,与 MoS_2/PMS 相比,其达到相同 CIP 去除率的反应时间明显缩短。这是因为, Fe_3O_4 与 MoS_2 之间存在协同效应, Mo^{4+} 不仅参与了 PMS 的活化,还促进了 Fe^{2+}/Fe^{3+} 循环,从而提高了反应速率和去除率 [31]。

从图 6b 可以看出,在不同体系去除 CIP 过程的准一级动力学拟合曲线中,各反应体系的反应速率常数 (k, \min^{-1}) 大小顺序为: $\operatorname{Fe_3O_4/MoS_2/PMS}$ ($0.2882 \, \min^{-1}$) > $\operatorname{MoS_2/PMS}$ ($0.0471 \, \min^{-1}$) > $\operatorname{Fe_3O_4/PMS}$ ($0.0038 \, \min^{-1}$) > PMS ($0.0016 \, \min^{-1}$)。结果表明, $\operatorname{Fe_3O_4/MoS_2}$ 可以活化 PMS 高效去除 CIP。后续实验对 $\operatorname{Fe_3O_4/MoS_2}$ 的催化性能进行考察。

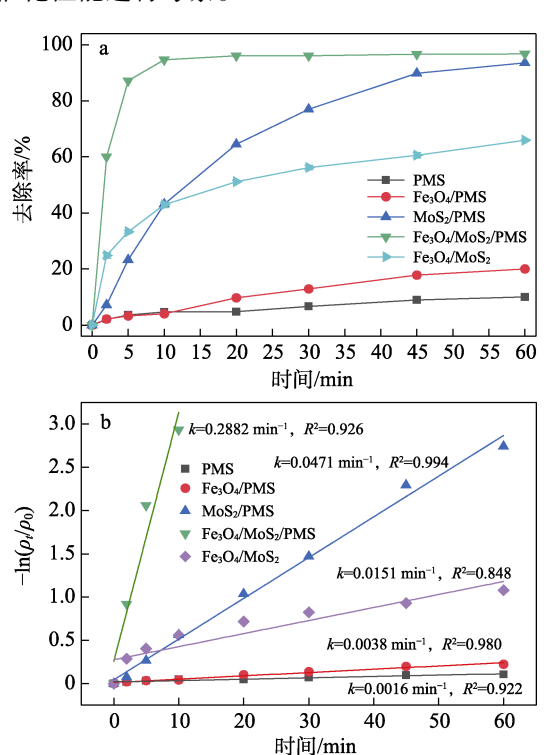


图 6 不同催化氧化体系对 CIP 的去除率(a)和准一级动力学拟合曲线(b)

Fig. 6 Removal rate of CIP by different catalytic oxidation systems (a) and quasi-first-order kinetic fitting curves (b)

2.3 单因素实验结果分析

2.3.1 pH 的影响

图 7a 为 pH 对 Fe₃O₄/MoS₂活化 PMS 氧化去除 CIP 的影响。

从图 7a 可以看出, 当初始 pH 为 3~7 时, 60 min 内 CIP 可以被有效去除, 且都在 20 min 左右基本达到平衡。其中, 初始 pH=7 时, 60 min 内 CIP 去除率最高, 为 95.01%。初始 pH 提高至 9 时, CIP 的

去除速率减小,表明碱性环境不利于类 Fenton 反应, 这是因为, Fe₃O₄表面的 Fe²⁺在碱性环境中被部分钝 化,降低了反应速率[32]。但随着反应的进行,钝化 后的 Fe₃O₄ 颗粒逐渐活化, CIP 去除率在 60 min 内 仍可达 93.38%。但初始 pH 提高至 11 时,由于碱性 条件下 MoS₂ 表面不饱和 S 原子不易被水中的 H⁺捕 获, Mo⁴⁺未完全暴露, 阻碍了 Mo⁴⁺还原 Fe³⁺, 不能 有效促进 Fe²⁺/Fe³⁺的循环, 从而导致 Fe₃O₄/MoS₂/ PMS 体系去除 CIP 的能力减弱[33], 这是因为, 在强 碱性条件下,过多的 OHT积聚在催化剂表面, PMS 以活性较低的 SO₅²形式存在, Fe₃O₄/MoS₂ 和 PMS 之间存在静电排斥而导致 PMS 的氧化能力降低,从 而影响 CIP 去除率[34]。结果表明, 在初始 pH 为 3~9 时, 60 min 内 Fe₃O₄/MoS₂活化 PMS 氧化去除 CIP 的去除率均能达到 88%以上,表明 Fe₃O₄/MoS₂/PMS 体系能在较宽的 pH 范围内去除 CIP。

2.3.2 温度的影响

图 7b 为温度对 Fe₃O₄/MoS₂ 活化 PMS 氧化去除 CIP 的影响。

从图 7b 可以看出,温度从 30 ℃升至 50 ℃的 过程中,60 min内 CIP 去除率从 96.81%降至 90.41%, 去除率整体呈下降趋势。这可能由于, Fe_3O_4/MoS_2 具有一定的温度适应范围,当温度过高时可能发生 结构变化或失活,导致其催化活性下降。

2.3.3 Fe₃O₄/MoS₂投加量的影响

图 7c 为 Fe_3O_4/MoS_2 投加量对其活化 PMS 氧化 去除 CIP 的影响。

从图 7c 可以看出, Fe_3O_4/MoS_2 投加量从 0.1 g/L 增至 0.2 g/L 时,60 min 内的 CIP 去除率基本没有变化,但反应速率有了明显提升,后者 20 min 内基本达到平衡,而前者需要 30 min。这是因为,随着 Fe_3O_4/MoS_2 投加量的增加,其表面活性位点增加,会生成更多的活性物质,如 SO_4^{\bullet} 、 ${}^{\bullet}OH$ 和 ${}^{\dagger}O_2^{[35]}$ 。但随着 Fe_3O_4/MoS_2 投加量从 0.2 g/L 增至 0.5 g/L,60 min 内的 CIP 去除率从 96.81%降至 85.12%,这是因为, Fe_3O_4/MoS_2 投加量过大,催化剂在溶液中发生团聚,导致其表面活性位点减少 ${}^{[36]}$,同时,过量的催化剂淬灭了体系中产生的活性自由基,从而导致 CIP 去除率降低 ${}^{[37]}$ 。

2.3.4 PMS 投加量的影响

图 7d 为 PMS 投加量对 Fe_3O_4/MoS_2 活化 PMS 氧化去除 CIP 的影响。

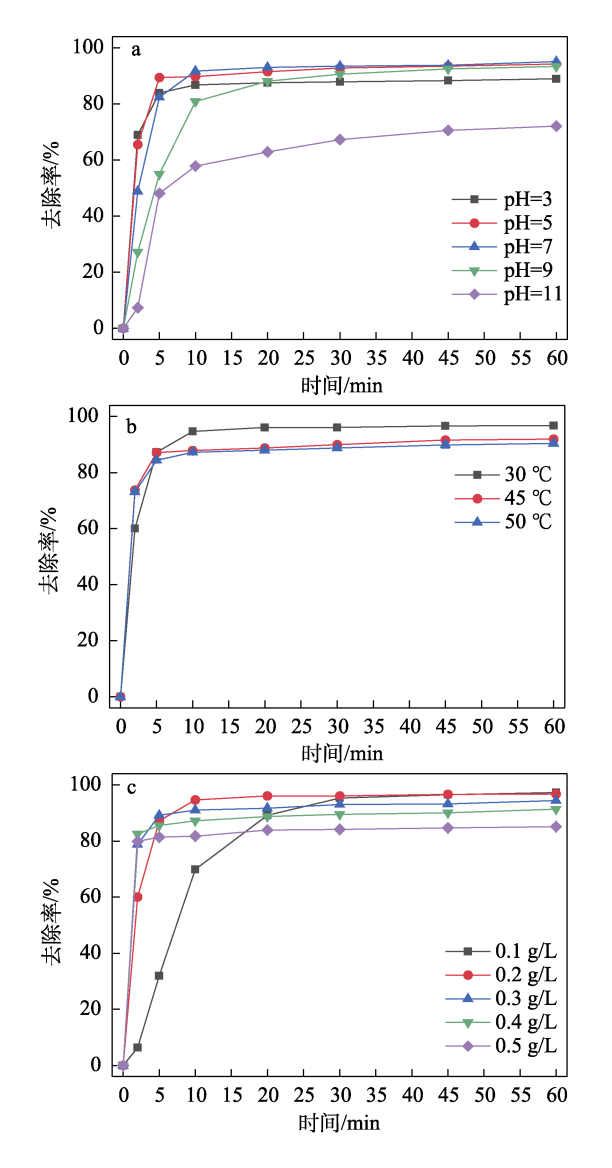
从图 7d 可以看出, PMS 投加量从 0.10 mmol/L 增至 0.25 mmol/L 时, 60 min 内 CIP 的去除率从 87.73%升至 96.81%。这是因为, 随着 PMS 投加量

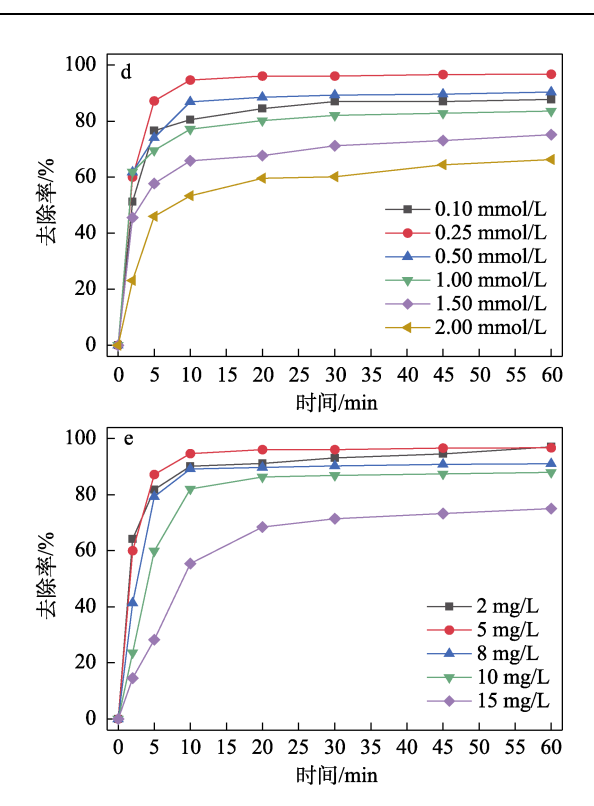
的增加, Fe_3O_4/MoS_2 的活性位点与 PMS 充分接触反应,产生了更多的活性物质,从而促进溶液中的 CIP 降解。但随着 PMS 的投加量进一步增至 2.00~mmol/L 时,60~min 内 CIP 的去除率降至 66.29%。这是因为,剩余的 HSO_5 与 SO_4 •反应生成活性较低的物质, Fe_3O_4/MoS_2 表面活性位点饱和,抑制了自由基的生成,两者共同降低了 CIP 的去除率 [37-38]。

2.3.5 CIP 初始质量浓度的影响

图 7e 为 CIP 初始质量浓度对 Fe₃O₄/MoS₂活化 PMS 氧化去除 CIP 的影响。

从图 7e 可以看出,随着 CIP 质量浓度的增加,60 min 内 CIP 的去除率逐渐降低。其原因可能是, Fe_3O_4/MoS_2 活化 PMS 产生的活性物质有限,导致 CIP 去除率降低 $[^{37,39]}$ 。CIP 质量浓度从 5 mg/L 逐渐 增至 10 mg/L,60 min 内 CIP 的去除率由 96.81%减至 87.99%。当 CIP 的初始质量浓度增至 15 mg/L 时,CIP 的去除率能保持在 75.00%,表明 Fe_3O_4/MoS_2 能够有效活化 PMS 氧化去除 CIP。





a—初始 pH; b—温度; c— Fe_3O_4/MoS_2 投加量; d—PMS 投加量; e—CIP 初始质量浓度

图 7 不同因素对 Fe₃O₄/MoS₂活化 PMS 氧化去除 CIP 的 影响

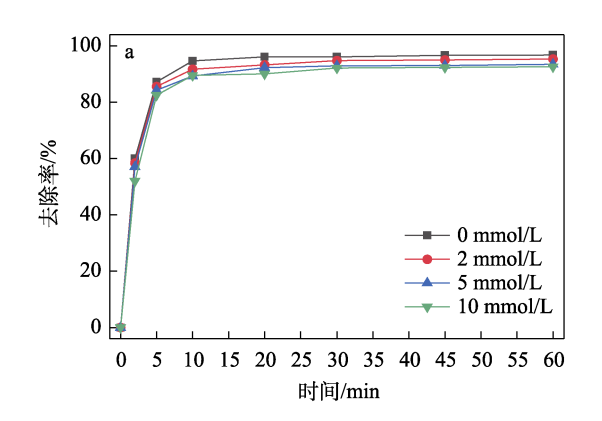
Fig. 7 Effects of different factors on oxidative removal of CIP by Fe₃O₄/MoS₂ activated PMS

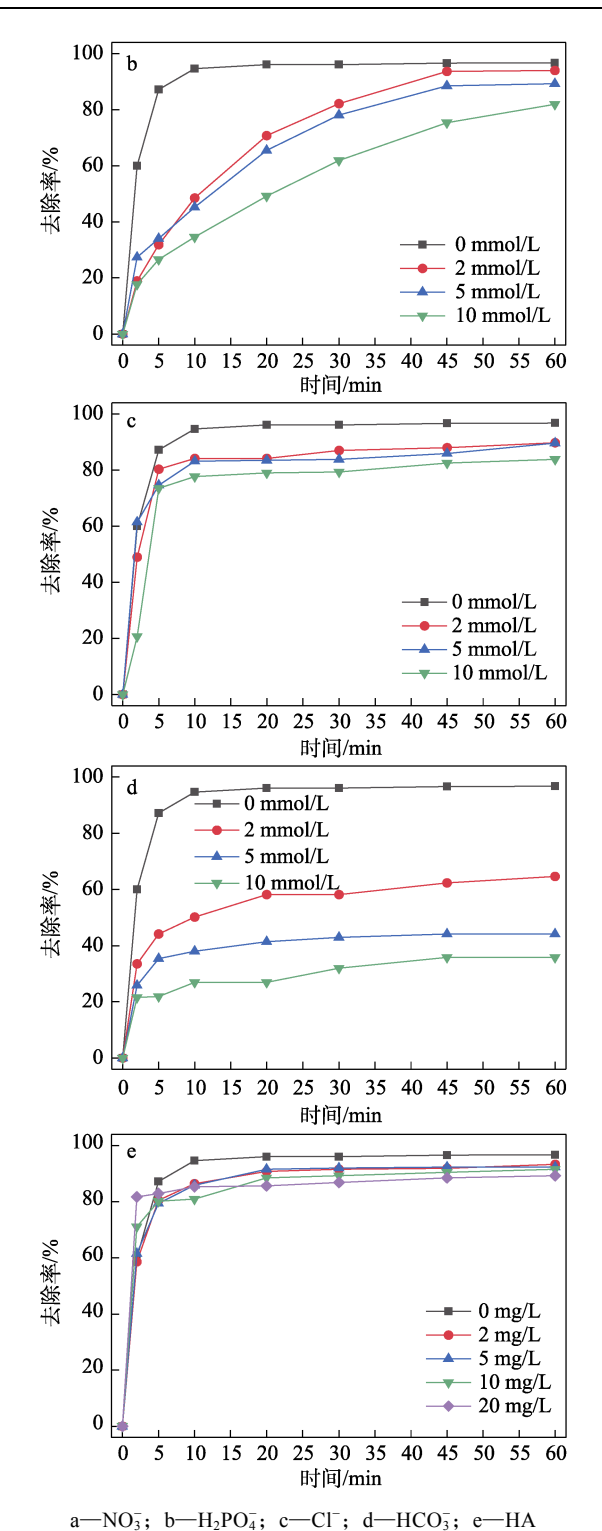
2.3.6 常见阴离子和 HA 的影响

图 8 为常见阴离子和 HA 对 Fe_3O_4/MoS_2 活化 PMS 氧化去除 CIP 的影响。

从图 8a 可以看出,浓度 2~10 mmol/L 的 NO $_3$ 对 Fe $_3$ O $_4$ /MoS $_2$ 活化 PMS 氧化去除 CIP 基本没有影响。这是因为,NO $_3$ 与 SO $_4$ •的反应速率常数较低[k=5.0× 10^4 ~2.1× 10^6 L/(mol·s)] [40]。

从图 8b 可以看出,随着 H_2PO_4 浓度的增加,60 min 内的 CIP 去除率降低,这是由于, H_2PO_4 能与 Fe_3O_4/MoS_2 络合,导致活性位点减少,影响 PMS 的活化并淬灭了体系中的自由基 $[^{41}]$ 。





a—NO₃; b—H₂PO₄; c—CI; d—HCO₃; e—HA
图 8 不同阴离子和 HA 对 Fe₃O₄/MoS₂活化 PMS 氧化去 除 CIP 的影响

Fig. 8 Effects of different anions or HA on oxidative removal of CIP by Fe_3O_4/MoS_2 activated PMS

从图 8c 可以看出,质量浓度 $2\sim10~\text{mmol/L}$ 的 Cl 均对 ClP 去除有一定抑制作用,这归因于 Cl 可以消耗部分 SO_4 •和•OH,生成活性较低的氯自由基(Cl•)或次氯酸盐。

从图 8d 可以看出, 较低质量浓度(2~10 mmol/L)的 HCO₃抑制作用也尤为明显,这是由

于, HCO_3 中和了溶液中的大部分 H^+ ,使不饱和 S 不易被捕获,从而导致 Mo^{4+} 无法暴露,阻碍了 Fe_3O_4/MoS_2 与 PMS 的接触 $[^{42}]$ 。

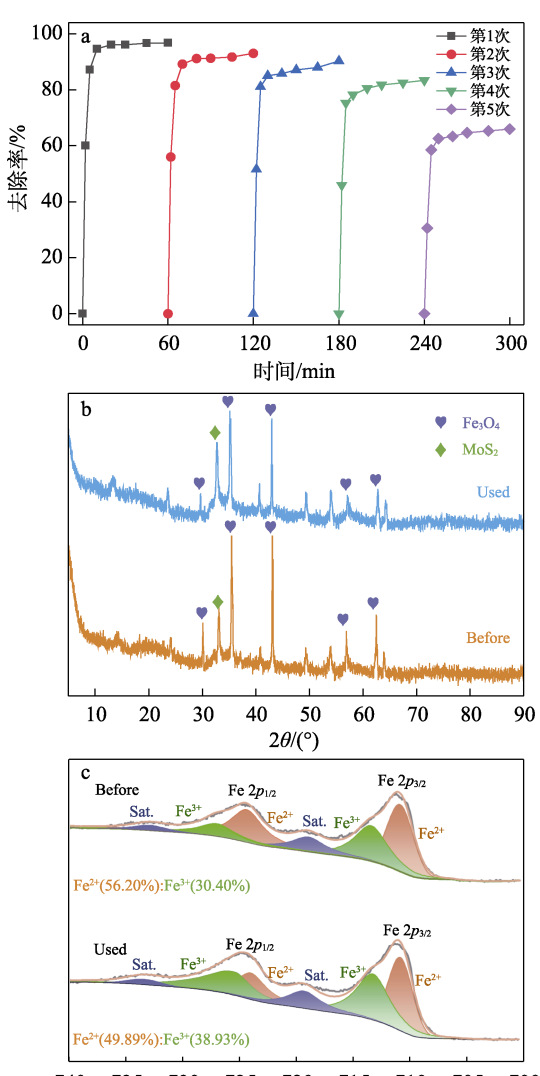
从图 8e 可以看出,质量浓度 $2\sim20$ mg/L 的 HA 轻微抑制 Fe_3O_4/MoS_2 活化 PMS 氧化去除 CIP,这是由于,HA 与 CIP 竞争活性物质,导致用于去除 CIP 的活性物质减少,从而稍微降低了 CIP 去除率。

2.4 催化剂循环稳定性分析

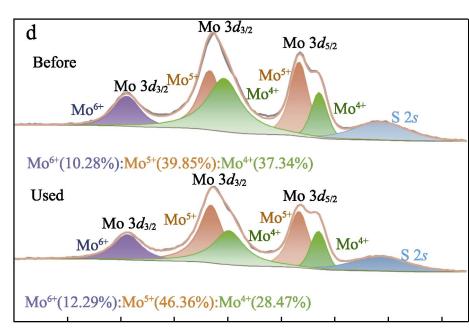
图 9a 为 Fe₃O₄/MoS₂循环稳定性考察结果。

从图 9a 可以看出, $Fe_3O_4/MoS_2/PMS$ 前 3 次循环的 CIP 去除率分别为 96.81%、93.08%、90.27%,第 4 次和第 5 次为 83.38%和 66.01%,表明 Fe_3O_4/MoS_2 具有一定的循环稳定性。

从图 9b 可以看出,反应前后 Fe_3O_4/MoS_2 的特征峰保持一致,表明 Fe_3O_4/MoS_2 具有较好的稳定性。 从图 9c、d 可以看出,反应前后 Fe 的价态变化明显, Fe^{2+}/Fe^{3+} 在 XPS 谱图中积分面积比由 56.20%/30.40%减至 49.89%/38.93% (图 9c)。



740 735 730 725 720 715 710 705 700 结合能/eV



 240
 238
 236
 234
 232
 230
 228
 226
 224

 结合能/eV

图 9 Fe₃O₄/MoS₂循环稳定性(a); Fe₃O₄/MoS₂反应前后的 XRD 谱图(b)、Fe 2*p* 高分辨 XPS 谱图(c)和 Mo 3*d* 高分辨 XPS 谱图(d)

Fig. 9 Fe_3O_4/MoS_2 cycle stability (a) \times XRD spectra of Fe_3O_4/MoS_2 before and after reaction (b), Fe 2p XPS spectra (c) and Mo 3d XPS spectra (d)

Fe³⁺相对含量的增加表明 Fe²⁺/Fe³⁺的循环受到一定阻碍,导致循环实验中 Fe²⁺的数量不能维持原有活化 PMS 的效率,从而导致 CIP 去除率的下降。Mo⁵⁺相对含量增加了 6.51%,Mo⁴⁺相对含量下降了 8.87%,Mo⁶⁺相对含量增加了 2.01%,表明 Mo⁴⁺被氧化成更高价态(Mo⁵⁺、Mo⁶⁺),导致 MoS₂ 不能有效促进 Fe²⁺/Fe³⁺循环和参与 PMS 活化,从而进一步导致了 CIP 去除率的降低^[43]。

此外,铁离子和钼离子的泄漏及 Fe_3O_4 钝化也可能是导致 CIP 去除率降低的原因 $^{[32]}$ 。经测定, Fe_3O_4/MoS_2 的 Fe 和 Mo 的浸出质量浓度分别为 0.37 和 1.43 mg/L,其中,Mo 的浸出质量浓度远低于 LU 等 $^{[32]}$ 、LI 等 $^{[44]}$ 制备的 Fe_3O_4/MoS_2 。同时,反应过程中 CIP 自身和分解成的中间产物也可能吸附在 Fe_3O_4/MoS_2 表面活性位点上,导致用于去除 CIP 的活性位点不足,从而造成第 5 次循环实验 CIP 去除率(66.01%)明显下降。

2.5 淬灭实验结果分析

已有报道 $^{[42,45-46]}$ 表明,PMS 激活同时具有两种途径:一种是 $^{\bullet}$ OH、SO $_{4}^{\bullet}$ 和 $^{\bullet}$ O $_{2}^{\bullet}$ 的自由基途径;一种是 1 O $_{2}$ 和介导的电子转移的非自由基途径。图 10a 为不同淬灭剂对 Fe $_{3}$ O $_{4}$ /MoS $_{2}$ /PMS 体系去除 CIP 的影响结果。

从图 10a 可以看出,抑制 CIP 去除能力大小的 淬灭剂顺序为: FFA>p-BQ>MeOH>TBA。表明 Fe₃O₄/MoS₂活化 PMS 去除 CIP 的体系中, 1 O₂起到 关键作用, 1 O₂是由•O₂转化而来,•O₂又由 Fe²⁺与 O₂反应产生 $^{[47]}$ 。本文中,MoS₂表面的 Mo⁶⁺可以与•O₂反应生成 1 O₂; Fe₃O₄/MoS₂/PMS 体系也能产生•OH 和 SO₄•,其中,•OH 由 SO₄•转化而来。

为进一步验证活性物质的种类, 对 Fe₃O₄/MoS₂/PMS 体系进行了 EPR 测试, 结果如图 10b、c 所示。 从图 10b、c 可以看出, 在 Fe₃O₄/MoS₂/PMS 体系 中,•OH 和 SO_4 •的信号峰清晰可见(图 10b),这与淬灭实验结果一致。此外,信号强度比 1:1:1 的三线峰及六线峰分别代表着 $TEMP-^1O_2$ 和 $DMPO-•O_2$,证实了体系内 1O_2 和 $•O_2$ 的存在,该结果也与淬灭实验结果相符。

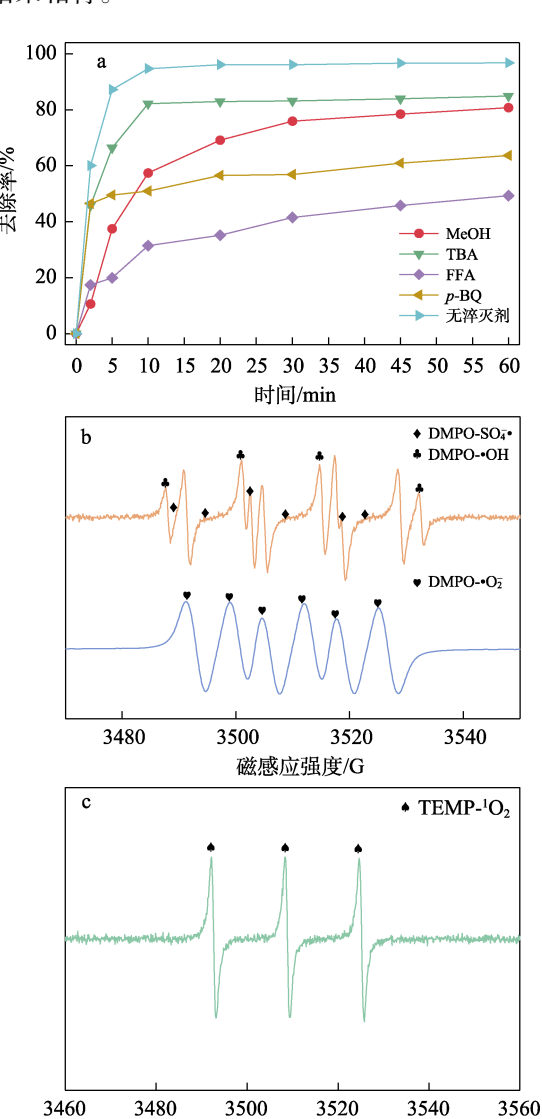


图 10 不同淬灭剂对 Fe₃O₄/MoS₂/PMS 体系去除 CIP 的 影响(a); Fe₃O₄/MoS₂/PMS 体系的 EPR 图(•OH、SO₄•和•O₂)(b); Fe₃O₄/MoS₂/PMS 体系的 EPR (¹O₂)图(c)

磁感应强度/G

Fig. 10 Effect of different quenchers on CIP removal by $Fe_3O_4/MoS_2/PMS$ (a); EPR plots of $Fe_3O_4/MoS_2/PMS$ system (•OH, SO_4^- • and • O_2^-) (b); EPR plots of $Fe_3O_4/MoS_2/PMS$ system (1O_2) (c)

综上所述,在 $Fe_3O_4/MoS_2/PMS$ 体系中,自由基和非自由基共存。 1O_2 是 $Fe_3O_4/MoS_2/PMS$ 体系中的主要活性物质, $^{\bullet}OH$ 和 SO_4^{\bullet} 次之。

2.6 机理分析

图 11 为 Fe_3O_4/MoS_2 活化 PMS 氧化去除 CIP 的 推测机理图。

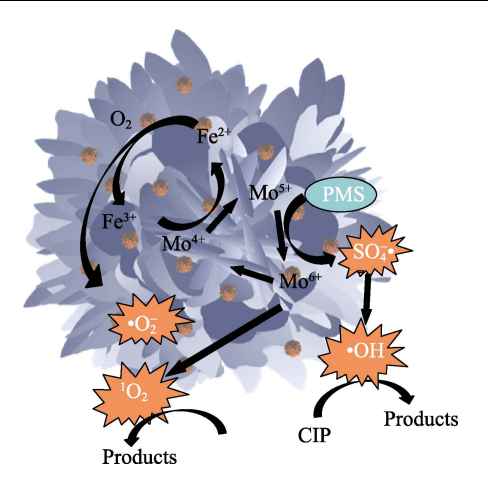


图 11 推测的 Fe_3O_4/MoS_2 活化 PMS 氧化去除 CIP 的机 理示意图

Fig. 11 Schematic diagram of mechanism of CIP removal by oxidation of Fe₃O₄/MoS₂ activated PMS

在 Fe₃O₄/MoS₂/PMS 体系中, 首先, PMS 和 CIP 分子被吸附至催化剂 Fe₃O₄/MoS₂ 表面。随后, Fe₃O₄/MoS₂表面的 Fe²⁺和 Mo⁴⁺向 HSO₅转移电子, 生成 SO₄• [式(2)、(3)]。Mo⁴⁺和 HSO₅反应生成 的 Mo5+继续与 PMS 反应,进一步生成 SO4•[式(4)], 此前生成的 SO₄•与 H₂O 反应, 生成了•OH[式(5)]。 此外, MoS₂中的 Mo⁴⁺和 Mo⁵⁺能够将 Fe³⁺还原成 Fe²⁺, 加速 Fe²⁺/Fe³⁺的循环, 提高了 PMS 的活化效 率,进而提高 CIP 的去除效率 [式(6)、(7)]。由 2.5 节可知, ${}^{1}O_{2}$ 在 CIP 去除中起到关键作用, 这可 能是催化剂表面的 Fe^{2+} 与 O_2 反应, 生成 $\bullet O_2^-$, 进而 与 Mo⁶⁺反应生成了 ¹O₂ [式(8)、(9)]。同时, ¹O₂ 也可以通过 PMS 的自发分解和其他途径生成,进一 步促进 CIP 的降解〔式(10)、(11)]。 CIP 在 1 O₂、 SO4•和•OH 的共同共同作用下被降解为中间产物或 最终转化为无害的 CO₂ 和 H₂O [式(12)], 实现了 CIP的有效去除。

$$Fe^{2+} + HSO_5^- \rightarrow Fe^{3+} + SO_4^- + OH^-$$
 (2)

$$Mo^{4+} + HSO_5^- \rightarrow Mo^{5+} + SO_4^- + OH^-$$
 (3)

$$Mo^{5+} + HSO_5^- \rightarrow Mo^{6+} + SO_4^- + OH^-$$
 (4)

$$SO_4^- \bullet + H_2O \rightarrow SO_4^{2-} + \bullet OH + H^+$$
 (5)

$$Mo^{4+} + Fe^{3+} \rightarrow Mo^{5+} + Fe^{2+}$$
 (6)

$$Mo^{5+} + Fe^{3+} \rightarrow Mo^{6+} + Fe^{2+}$$
 (7)

$$Fe^{2+} + O_2 \rightarrow Fe^{3+} + O_2$$
 (8)

$$Mo^{6+} + O_2^- \rightarrow Mo^{4+} + O_2$$
 (9)

$$2HSO_5^- \rightarrow 2SO_4^{2-} + 2H^+ + {}^1O_2$$
 (10)

$$SO_5^{-} \bullet + SO_5^{-} \bullet \rightarrow 2SO_4^{2-} + ^1O_2$$
 (11)

$$^{1}O_{2}+ \bullet OH+SO_{4}^{-} \bullet + CIP \rightarrow$$
产物 (12)

3 结论

采用水热法制备了 Fe_3O_4/MoS_2 ,将其应用于活化 PMS 氧化去除水中 CIP。

- (1) Fe₃O₄/MoS₂/PMS 体系表现出较高的 CIP 去除能力, MoS₂起到协同 Fe₃O₄催化作用。
- (2) 球状 Fe_3O_4 颗粒较均匀地分布在 MoS_2 花瓣 边缘上或间隙中,为活化 PMS 提供了更多的活性位点,同时 Mo^{4+} 暴露在 MoS_2 表面,提高了 Fe^{2+}/Fe^{3+} 循环效率,进一步促进了活化 PMS 的能力。
- (3)在 Fe_3O_4/MoS_2 投加量为 0.2 g/L、PMS 投加量为 0.25 mmol/L、CIP 初始质量浓度为 5 mg/L、pH=5.56、反应温度 30 ℃的最佳条件下,反应 20 min时,CIP 的去除率达到 96.10%。 H_2PO_4 、CI⁻、HCO $_3$ 和 HA 均对 CIP 的去除有不同程度的抑制作用, NO_3 对反应基本无影响。
- (4) Fe₃O₄/MoS₂/PMS 体系在较宽的 pH 范围 $(3\sim9)$ 内都表现出较高的反应活性。3 次循环后,CIP 去除率保持在 90.27%。
- (5) Fe₃O₄/MoS₂/PMS 体系去除 CIP 的过程主要为非自由基途径(1 O₂),自由基途径(1 OH) 在其中发挥次要作用。

参考文献:

- [1] LI S, HUANG T B, DU P H, et al. Photocatalytic transformation fate and toxicity of ciprofloxacin related to dissociation species: Experimental and theoretical evidences[J]. Water Research, 2020, 185; 116286.
- [2] YADAV S, GOEL N, KUMAR V, et al. Removal of fluoroquinolone from aqueous solution using graphene oxide: Experimental and computational elucidation[J]. Environmental Science and Pollution Research, 2018, 25(3): 2942-2957.
- [3] WEBER K P, MITZEL M R, SLAWSON R M, et al. Effect of ciprofloxacin on microbiological development in wetland mesocosms [J]. Water Research, 2011, 45(10): 3185-3196.
- [4] ZHOU L J, YING G G, LIU S, et al. Occurrence and fate of eleven classes of antibiotics in two typical wastewater treatment plants in South China[J]. Science of the Total Environment, 2013, 452:
- [5] BERENDONK T U, MANAIA C M, MERLIN C, et al. Tackling antibiotic resistance: The environmental framework[J]. Nature Reviews Microbiology, 2015, 13(5): 310-317.
- [6] EL NAJJAR N H, TOUFFET A, DEBORDE M, et al. Levofloxacin oxidation by ozone and hydroxyl radicals: Kinetic study, transformation products and toxicity[J]. Chemosphere, 2013, 93(4): 604-611.
- [7] WANG C C, GAO S W, ZHU J C, et al. Enhanced activation of peroxydisulfate by strontium modified BiFeO₃ perovskite for ciprofloxacin degradation[J]. Journal of Environmental Sciences, 2021 99: 249-259
- [8] ZHANG G J, JU P, LU S Y, et al. Efficient adsorption of antibiotics in aqueous solution through ZnCl₂-activated biochar derived from Spartina alterniflora[J]. Colloids and Surfaces A: Physicochemical and Engineering Aspects, 2024, 694: 134139.
- 9] WANG X J, LI J W, XU L, et al. Simultaneous removal of calcium, cadmium and tetracycline from reverse osmosis wastewater by sycamore deciduous biochar, shell powder and polyurethane sponge

- combined with biofilm reactor[J]. Bioresource Technology, 2024, 394: 130215.
- [10] LI X K, LU Z Y, WU B L, et al. Antibiotics and antibiotic resistance genes removal in biological aerated filter[J]. Bioresource Technology, 2024, 395: 130392.
- [11] XU M J, LI J, YAN Y, et al. Catalytic degradation of sulfamethoxazole through peroxymonosulfate activated with expanded graphite loaded CoFe₂O₄ particles[J]. Chemical Engineering Journal, 2019, 369: 403-413
- [12] ZHOU X R, ZHU Y, NIU Q Y, et al. New notion of biochar: A review on the mechanism of biochar applications in advanced oxidation processes[J]. Chemical Engineering Journal, 2021, 416: 129027.
- [13] OH W D, DONG Z L, LIM T T. Generation of sulfate radical through heterogeneous catalysis for organic contaminants removal: Current development, challenges and prospects[J]. Applied Catalysis B: Environment and Energy, 2016, 194: 169-201.
- [14] GHANBARI F, MORADI M. Application of peroxymonosulfate and its activation methods for degradation of environmental organic pollutants: Review[J]. Chemical Engineering Journal, 2017, 310: 41-62.
- [15] WANG J L, WANG S Z. Activation of persulfate (PS) and peroxymonosulfate (PMS) and application for the degradation of emerging contaminants[J]. Chemical Engineering Journal, 2018, 334: 1502-1517.
- [16] DEVI P, DAS U, DALAI A K. *In-situ* chemical oxidation: Principle and applications of peroxide and persulfate treatments in wastewater systems[J]. Science of the Total Environment, 2016, 571: 643-657.
- [17] LI J, WAN Y J, LI Y J, et al. Surface Fe(Ⅲ)/Fe(Ⅱ) cycle promoted the degradation of atrazine by peroxymonosulfate activation in the presence of hydroxylamine[J]. Applied Catalysis B: Environmental, 2019, 256: 117782.
- [18] XING M Y, XU W J, DONG C C, et al. Metal sulfides as excellent Co-catalysts for H₂O₂ decomposition in advanced oxidation processes [J]. Chem, 2018, 4(6): 1359-1372.
- [19] HUANG M, WANG X L, LIU C, et al. Mechanism of metal sulfides accelerating Fe(II)/Fe(III) redox cycling to enhance pollutant degradation by persulfate: Metallic active sites vs. reducing sulfur species[J]. Journal of Hazardous Materials, 2021, 404: 124175.
- [20] MA W, YAO B H, ZHANG W, et al. A novel multi-flaw MoS₂ nanosheet piezocatalyst with superhigh degradation efficiency for ciprofloxacin[J]. Environmental Science: Nano, 2018, 5(12): 2876-2887.
- [21] HE B, SONG L X, ZHAO Z X, et al. CuFe₂O₄/CuO magnetic nanocomposite activates PMS to remove ciprofloxacin: Ecotoxicity and DFT calculation[J]. Chemical Engineering Journal, 2022, 446: 137183.
- [22] QI K Y, YUAN Z M, HOU Y, et al. Facile synthesis and improved Li-storage performance of Fe-doped MoS₂/reduced graphene oxide as anode materials[J]. Applied Surface Science, 2019, 483: 688-695.
- [23] WANG X Y, ZHU T, CHANG S C, et al. 3D Nest-like architecture of core-shell CoFe₂O₄@1T/2H-MoS₂ composites with tunable microwave absorption performance[J]. ACS Applied Materials & Interfaces, 2020, 12(9): 11252-11264.
- [24] LIN X P, XUE D Y, ZHAO L Z, et al. In-situ growth of 1T/2H-MoS₂ on carbon fiber cloth and the modification of SnS₂ nanoparticles: A three-dimensional heterostructure for high-performance flexible lithium-ion batteries[J]. Chemical Engineering Journal, 2019, 356: 483-491.
- [25] ZHOU Y L, LIU Y, ZHANG M, et al. Rationally designed hierarchical N, P co-doped carbon connected 1T/2H-MoS₂ heterostructures with cooperative effect as ultrafast and durable anode materials for efficient sodium storage[J]. Chemical Engineering Journal, 2022, 433: 133778.
- [26] LU J, ZHOU Y, ZHOU Y B. Efficiently activate peroxymonosulfate by Fe₃O₄@MoS₂ for rapid degradation of sulfonamides[J]. Chemical Engineering Journal, 2021, 422: 130126.

- [27] LU J D. The effect of two ferromagnetic metal stripes on valley polarization of electrons in a graphene[J]. Physics Letters A, 2020, 384(19): 126402.
- [28] BAI R, YAN W F, XIAO Y, et al. Acceleration of peroxymonosulfate decomposition by a magnetic MoS₂/CuFe₂O₄ heterogeneous catalyst for rapid degradation of fluoxetine[J]. Chemical Engineering Journal, 2020, 397: 125501.
- [29] WANG T, LU J, LEI J Y, et al. Highly efficient activation of peroxymonosulfate for rapid sulfadiazine degradation by Fe₃O₄@Co₃S₄ [J]. Separation and Purification Technology, 2023, 307: 122755.
- [30] CAO J (曹娟), CUI L (崔磊), PAN J (潘靖). Magnetism of V, Cr and Mn doped MoS₂ by first-principal study[J]. Acta Physica Sinica (物 理学报), 2013, 62(18): 412-418.
- [31] LU J, ZHOU Y, LEI J Y, et al. Fe₃O₄/graphene aerogels: A stable and efficient persulfate activator for the rapid degradation of malachite green[J]. Chemosphere, 2020, 251: 126402.
- [32] LU J, ZHOU Y, ZHOU Y B. Efficiently activate peroxymonosulfate by Fe₃O₄@MoS₂ for rapid degradation of sulfonamides[J]. Chemical Engineering Journal, 2021, 422: 130126.
- [33] TIAN Y S, ZHOU M H, PAN Y W, et al. MoS₂ as highly efficient co-catalyst enhancing the performance of Fe⁰ based electro-Fenton process in degradation of sulfamethazine: Approach and mechanism [J]. Chemical Engineering Journal, 2021, 403: 126361.
- [34] DENG J, FENG S F, ZHANG K J, et al. Heterogeneous activation of peroxymonosulfate using ordered mesoporous Co₃O₄ for the degradation of chloramphenicol at neutral pH[J]. Chemical Engineering Journal, 2017, 308: 505-515.
- [35] HU X, ZHANG H, SUN Z R. Adsorption of low concentration ceftazidime from aqueous solutions using impregnated activated carbon promoted by iron, copper and aluminum[J]. Applied Surface Science, 2017, 392: 332-341.
- [36] JAWAD A, LANG J, LIAO Z W, et al. Activation of persulfate by CuO_x@Co-LDH: A novel heterogeneous system for contaminant degradation with broad pH window and controlled leaching[J]. Chemical Engineering Journal, 2018, 335: 548-559.
- [37] GONG C, CHEN F, YANG Q, et al. Heterogeneous activation of peroxymonosulfate by Fe-Co layered doubled hydroxide for efficient catalytic degradation of Rhoadmine B[J]. Chemical Engineering Journal, 2017, 321: 222-232.
- [38] LIYH (李英豪), ZHENG X Q (郑向前), GAO X Y (高晓亚), et al. Preparation of CoFe₂O₄ and its peroxymonosulfate activation for degradation of sulfamethoxazole[J]. Fine Chemicals (精细化工), 2022, 39: 1020-1027.
- [39] GUO M (郭铭), DONG F Q (董发勤), HUO T T (霍婷婷), et al. Factors influencing the degradation of tetracycline by tourmaline activated persulfate[J]. Acta Mineralogica Sinica (矿物学报), 2024, 44(3): 1-12.
- [40] GIANNAKIS S, LIN K Y A, GHANBARI F. A review of the recent advances on the treatment of industrial wastewaters by sulfate radical-based advanced oxidation processes (SR-AOPs)[J]. Chemical Engineering Journal, 2021, 406: 127083.
- [41] DUAN P J, LIU X N, LIU B H, et al. Effect of phosphate on peroxymonosulfate activation: Accelerating generation of sulfate radical and underlying mechanism[J]. Applied Catalysis B: Environmental, 2021, 298: 120532.
- [42] LIN K Y A, ZHANG Z Y. Degradation of bisphenol A using peroxymonosulfate activated by one-step prepared sulfur-doped carbon nitride as a metal-free heterogeneous catalyst[J]. Chemical Engineering Journal, 2017, 313: 1320-1327.
- [43] XU J Y, CHEN J X, ZHONG Y H, et al. Ultrathin MoS₂ nanosheet-wrapped Fe₃O₄ nanocrystals synergistically activate peroxymonosulfate for enhanced removal of organic pollutants[J]. Colloids and Surfaces A: Physicochemical and Engineering Aspects, 2023, 671: 131599.

(下转第 2088 页)